



Отражающий фактор  
P<sub>d</sub> **0,91**

Температура трансформации  
T<sub>г</sub> [°C] **480**

Относительная  
твёрдость по  
сошлифованию  
Hs **0,40**

Плотность  
ρ [г/см<sup>3</sup>] **2,84**

Тепловое расширение  
α [20-300 °C]×10<sup>-6</sup> К<sup>-1</sup> **10,4**

ИЗЮМСКИЙ  
ПРИБОРОСТРОИТЕЛЬНЫЙ  
ЗАВОД  
государственное предприятие



**Показатель преломления**

Линия спектра	F	e	d	D	C
λ, нм	486,13	546,07	587,56	589,29	656,27
Элемент	H	Hg	He	Na	H
n				1,5400	

**Положение полосы пропускания**

d, мм	λ <sub>ср.</sub> , нм	Δλ <sub>0,5</sub> , нм	τ <sub>max</sub>	τ <sub>710</sub>
1,00	320	154	0,90	0,73
2,00	319	140	0,90	0,59
3,00	320	131	0,89	0,47
4,00	320	126	0,89	0,38
5,00	321	121	0,88	0,30
6,00	321	117	0,88	0,24

**Границы пропускания, λ<sub>c</sub> (τ<sub>i</sub>=τ<sub>imax</sub>/2)**

d, мм	Коротковол.	Длинноволн.
1	243	396
2	249	389
3	254	385
4	258	383
5	261	381
6		379

**Координаты цветности**

	d, мм	x	y	Y, %	λ <sub>d</sub> , нм	ρ <sub>e</sub>
A 2856 [K]	1,00					
	2,00					
	3,00					
3200 [K]	1,00					
	2,00					
	3,00					
D <sub>65</sub>	1,00					
	2,00					
	3,00					
	5,00					

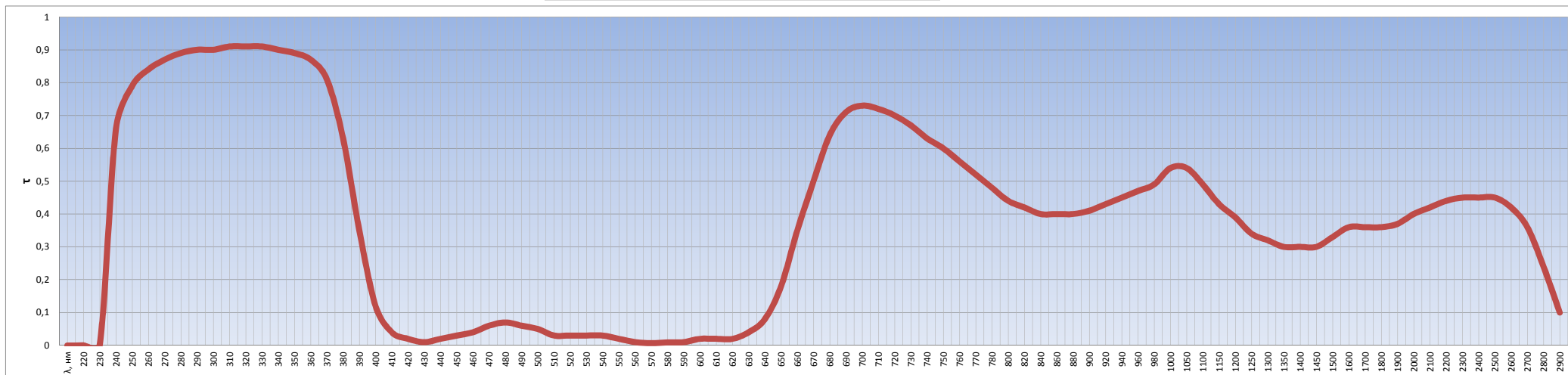
Предельное значение для τ <sub>i</sub> при толщине образца 1 мм		
Длина волн, нм	Предельное значение	Значение по каталогу
254	≥0,63	0,79
313	≥0,98	0,99
405	≤0,30	0,26
436	≤0,03	0,02
546	≤0,056	0,03
700	≤0,98	0,78

**Коэффициент пропускания [τ] и коэффициент внутреннего пропускания [τ<sub>i</sub>]**

λ, нм	Для светофильтра толщиной 1 мм																															
	220	230	240	250	260	270	280	290	300	310	320	330	340	350	360	370	380	390	400	410	420	430	440	450	460	470	480	490	500	510	520	
τ	1×10 <sup>-4</sup>	0,05	0,37	0,66	0,79	0,84	0,87	0,89	0,90	0,90	0,91	0,91	0,91	0,90	0,89	0,87	0,81	0,63	0,35	0,12	0,04	0,02	0,01	0,02	0,03	0,04	0,06	0,07	0,06	0,05	0,03	
τ <sub>i</sub>	1×10 <sup>-4</sup>	0,05	0,41	0,72	0,86	0,92	0,96	0,98	0,98	0,99	0,99	0,99	0,99	0,99	0,98	0,95	0,88	0,69	0,39	0,13	0,04	0,02	0,01	0,02	0,03	0,05	0,07	0,07	0,07	0,05	0,04	
λ, нм	530	540	550	560	570	580	590	600	610	620	630	640	650	660	670	680	690	700	710	720	730	740	750	760	770	780	800	820	840	860	880	
τ	0,03	0,03	0,03	0,02	0,01	7×10 <sup>-3</sup>	9×10 <sup>-3</sup>	0,01	0,02	0,02	0,02	0,04	0,08	0,18	0,35	0,50	0,64	0,71	0,73	0,72	0,70	0,67	0,63	0,60	н/д	0,52	0,48	0,44	0,42	0,40	0,40	
τ <sub>i</sub>	0,03	0,03	0,03	0,02	0,01	8×10 <sup>-3</sup>	0,01	0,01	0,02	0,02	0,02	0,04	0,09	0,20	0,38	0,55	0,70	0,78	0,80	0,79	0,77	0,74	0,69	0,65	н/д	0,58	0,52	0,48	0,46	0,44	0,44	
λ, нм	900	920	940	960	980	1000	1050	1100	1150	1200	1250	1300	1350	1400	1450	1500	1600	1700	1800	1900	2000	2100	2200	2300	2400	2500	2600	2700	2800	2900	3000	
τ	0,40	0,41	0,43	0,45	0,47	0,49	0,54	0,54	0,49	0,43	0,39	0,34	0,32	0,30	0,30	0,30	0,33	0,36	0,36	0,36	0,36	0,37	0,40	0,42	0,44	0,45	0,45	0,45	0,42	0,36	0,24	0,10
τ <sub>i</sub>	0,44	0,45	0,47	0,49	0,51	0,54	0,59	0,59	0,54	0,47	0,43	0,37	0,35	0,33	0,33	0,33	0,36	0,40	0,40	0,40	0,41	0,44	0,46	0,48	0,49	0,49	0,49	0,46	0,40	0,26	0,09	

**График хода спектральной кривой пропускания [τ]**

**Для светофильтра толщиной 1 мм**



Примечание: Стекло склонно к поляризации. Справочные данные по положению полосы, коротковолновой и длинноволновой границ пропускания приведены в соответствии с каталогом.